N→5 堺市三宝下水処理場の膜分離活性汚泥プロセス におけるファウリング物質と微生物群集の解析

 ○惣田 訓^{1*}・中山 能成²・槙尾 隆志²・高田 一輝¹・橋本 くるみ¹・ 韓 成孩¹・池 道彦¹・宮本 博一²・山下 喬子³・橋本 敏一³

1大阪大学大学院工学研究科(〒565-0871大阪府吹田市山田丘2-1)

2堺市上下水道局(〒591-8505 堺市北区百舌鳥梅北町1丁39番地2)

³日本下水道事業団(〒113-0034 東京都文京区湯島2-31-27 湯島台ビル3階) * E-mail: soda@see.eng.osaka-u.ac.jp

1. はじめに

膜分離活性汚泥法 (MBR: membrane bioreactor) は、省 スペース性に優れ、活性汚泥の沈降性によらずに清澄な 処理水を得ることができる。しかし、膜のファウリング を抑制するために大量の曝気が必要であり、 定期的に膜 を薬品で洗浄する必要もある. 堺市三宝下水処理場の MBRでは、鉄を中心とする無機物がファウリングに大 きく関与し、その洗浄には次亜塩素酸ソーダよりも、シ ュウ酸を用いることが効果的であることが報告1)されて いる. 一方, 微生物が分泌する細胞外高分子(EPS: extracellular polymeric substances) もファウリングに関与す ることが知られている. 三宝下水処理場のMBRの活性 汚泥中の細菌群集は、並列運転されていた標準活性汚泥 法のものとは大きく異なることが報告?されているもの の、膜表面に付着している細菌群集は今まで解析されて いない. そこで本研究では、ファウリングに関与する微 生物に関する知見を深めることを目的とし、MBRの膜 付着物中の化学物質と細菌群集構造を解析した.

2. 実験方法

(1) 膜カートリッジからの膜付着物の採取

三宝下水処理場の旧1系MBR施設(合流式、日最大処 理量60,000 m³/日、計画日最大ろ過フラックス0.58 m/日、 MLSS濃度 8,000~10,000 mg/L) のNo. 5-1系, No. 5-2系(各 6,500 m³/日) とNo.3系 (8,000 m³/日) を対象とし、表-1に 示す調査を実施した. No. 5-1系とNo. 5-2系は、幅4.0m× 長さ99.7m×有効水深4.0mであり、無酸素槽(323 m³), 好気槽 (472 m³), 膜分離槽 (800 m³) で構成されてい る. No. 3系は他の系列よりも幅が約1.2倍大きい. 塩素 化ポリエチレン製の浸漬型平膜カートリッジ(0.8m²/枚, 公称孔径0.4 µm) が、No.3系には400枚/膜ユニット×42基, No. 5-1系は300枚/膜ユニット×46基, No. 5-2系は300枚/膜 ユニット×36基が設置されている. なお, No. 5-2系には, 2013年12月からリン除去のために凝集剤 (PAC) が添加 されている. 各調査において、膜分離槽の上流の膜ユニ ットを引き上げ、中の膜カートリッジ表面の付着物(ケ ーキ層) をヘラで回収し、分析試料とした。2013年2月、 2014年1月の調査では、中流の膜カートリッジからも試 料を採取した、また、膜分離槽の中央から活性汚泥混合 液を採取し、分析試料とした、なお、2014年2月調査で

表-1 三宝下水処理場 MBR の膜付着物の調査

調査日	MBR 系列	膜 ユニット	膜間差 圧kPa ^a	洗浄経過 日数 b	膜付着物 g-wet/m²		膜個	mg/g-wet	-			
						糖類	タンパ ク質	フミン 質	Fe	Ca	Al	Mn
2013年	No. 3	上流(1-4)	15.4	28	3.24	1.2	1.5	5.7	19.0	7.0	4.0	<1.0
2月4日		中流(2-5)	9.9	28	2.14	0.8	4.0	1.9	1.0	1.0	1.0	<1.0
1月23日	No. 5-1	上流(1-1)	4.4	. 13	4.25	_c	4.4	1.3	4.8	2.3	2,1	0.1
		中流 (2-5)	4.1	13	0.30	-	6.5	2.1	72	8.7	10.0	1.7
1月24日	No. 5-2	上流(1-11)	4.1	35	0.33	-	9.4	2.1	1.4	0.6	0.9	0.2
		中流 (2-5)	3.4	10	-	-	2.4	1.5	2.2	1.1	1.7	1.4
2月10日	No. 5-1	上流(1-1)	6.0	31	5.25	-	1.7	2.6	6.2	2.6	2.3	0.1
	No. 5-2	上流(1-11)	3.7	7	0.43	-	4.4	1.7	1.4	0.4	0.4	0.1
2月18日	No. 5-1	上流(1-1)	3.7	7	1.75	-	2.6	1.4	8.2	2.9	2.8	0.1
	No. 5-2	上流(1-11)	3.8	15	-	-	-	-	-		-	-

a試料採取前日の最大値,b次亜塩素酸ソーダによるインライン洗浄,。-未測定

は、No. 5-2系からは微生物群集構造の解析に十分な量の 膜付着物が回収できなかった。

(2) 膜付着物中の化学物質の化学分析

採取した膜付着物をリン酸カリウム緩衝液(KHdPO4 50 mM, KdHPO4 50 mM, pH 7.4)に懸濁させて0.004 gwet/mLに調整し、Frolundら³と同様の手法でEPSの抽出および糖類、タンパク質、フミン質を定量した。また、膜付着物中の金属元素を誘導結合プラズマ発光分析装置で定量した。

(3) 膜付着物中の電子顕微鏡観察と元素分析

採取した膜を実験室において0.5%の次亜塩素酸ソーダで1時間洗浄後、さらに1%のシュウ酸で1時間洗洗浄した. それらの試料を走査型電子顕微鏡(SEM: Scanning Electron Microscope)で観察し、電子プローブマイクロアナリシス法(EPMA: Electron Probe Micro Analyzer)で元素分析した.

(4) 膜付着物中の微生物の群集構造解析

膜付着物中の真正細菌の16S rRNA遺伝子を対象とした T-RFLP (Terminal Restriction Fragment Length Polymorphism) 解析®を行った. 試料間の細菌群集構造の比較のため, Hhalで消化したT-RFプロファイルを主成分分析した.

3. 結果および考察

(1) 膜付着物中の化学物質

三宝下水処理場のMBRは、計画日最大フラックス以上のろ過運転を行う日もあり、次亜塩素酸ソーダで膜を洗浄しても、表-1に示すように約1ヶ月で膜分離槽の上流のファウリングが進行し、膜間差圧が高まる状況が続いていた、次亜塩素酸ソーダによる洗浄は、有機物によるファウリングの解消にはある程度の効果があったが、雨天による急激な流入水量の増加により、洗浄から20日前後が経過すると、急激に膜間差圧が高まることもあった.膜間差圧が高い膜には、褐色のケーキ層が形成され、鉄やカルシウムが無機物として多く含まれていた.また、有機物としては、糖類とタンパク質に加え、フミン質が多く蓄積しており、微生物が分泌するEPSがファウリングに関与している可能性も示唆された.

(2) 膜のSEM-EPMA分析

2014年1月23日にNo.5-1系MBRの膜分離槽上流から採取した膜のSEM画像を図-1に示す。ファウリングが進行していたこの膜の表面には堆積物が観察され、EPMAによると鉄、カルシウム、アルミニウム、酸素が多いことが明らかとなった。ファウリング物質は、次亜塩素酸ソーダでは効果的には洗浄除去できず、鉄やアルミニウムの

酸化物が残留することが示唆された. 一方, シュウ酸を用いた場合には, ファウリング物質が効果的に除去され, 洗浄後には障孔が観察された

(3) 微生物群集構造の系統学的構造解析

MBRの細菌群集のT-RFプロファイルを2014年1月23日のNo.5-1系を例として図-2に示す.ファウリングが進行していた膜分離槽上流の膜付着物には、201bpのT-RFが優占していた.一方、中流の膜付着物と活性汚泥の細菌群集構造は類似しており、406-409 bpのT-RFが優占していた.他の試料においても同様の傾向がみられ、ファウリングが進行している膜の表面には、201 bpのT-RFを有する特有の細菌群集が集積されていた.

T-RFプロファイルを主成分分析した結果を図-3に示す.第1主成分(PC1)の値は調査時期によって大きく異なった.PC1の主成分負荷量は,1085-1087 bpのT-RFのものが-0.76と小さく,このT-RFは,2014年1月23日,2月10日の活性汚泥に優占していたのに対し,2013年2月4日,2014年2月18日には検出されなかった.三宝下水処理場のMBRの細菌群集構造は、運転が数ヶ月以上経過しても安定しないことが報告2されており、PC1はMBRの変動する細菌群集構造を反映していると考えられる.一方,第2主成分(PC2)の値は、中流の膜付着物の細菌群集構造は活性汚泥のものに類似しているのに対し、上流の

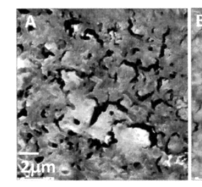






図-1 三宝下水処理場の No.5-1系 MBR の膜の SEM 画像 (2014年1月23日). (A) 洗浄前の膜, (B) 次亜塩素酸ソ ーダによる洗浄後の膜, (C) シュウ酸による洗浄後の膜.

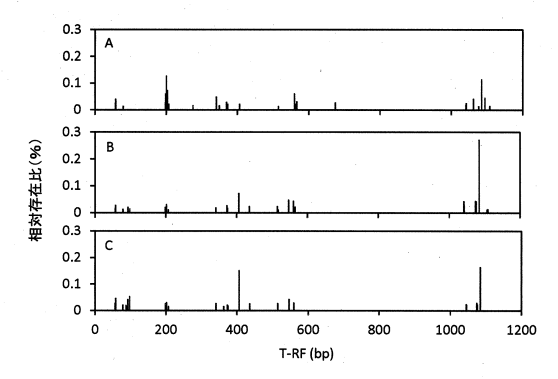


図-2 三宝下水処理場の No.5-1 系 MBR の細菌群集の 16SrRNA 遺伝子の Hhal 消化した T-RF プロファイルの例(2014年 1 月 23 日). (A) 膜分離槽上流の膜付着物, (B) 膜分離槽中流 の膜付着物, (C) 膜分離槽の活性汚泥混合液.

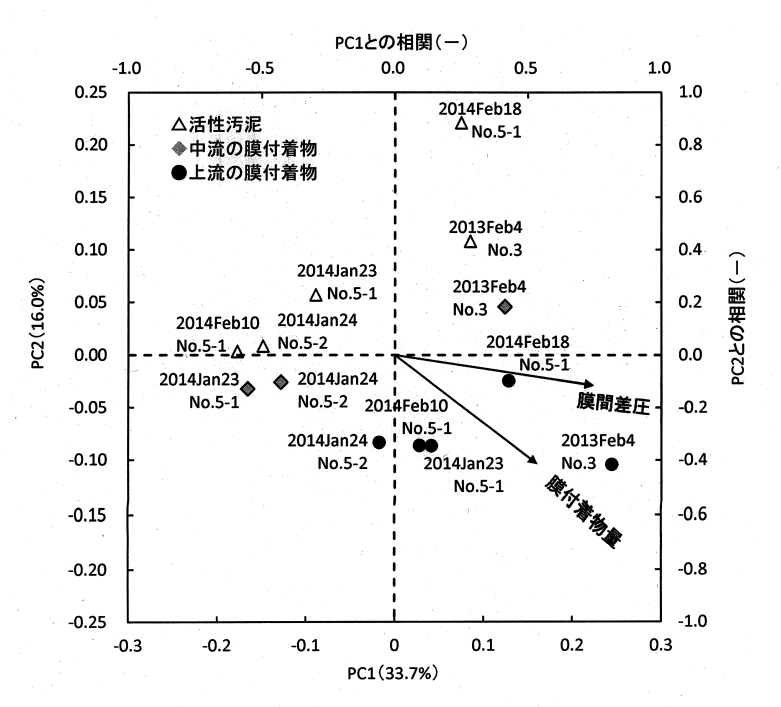


図-3 三宝下水処理場の MBR (No.3 系, No.5-1 系, No.5-2 系) の細菌群集の T-RF プロファイルの主成分分析.ベクターは主成分 1 および主成分 2 に対する膜付着物量と膜間差圧の相関係数を示している.

膜付着物のものは他の試料よりも低い値を示した. PC2 の主成分負荷量は, 201 bpのT-RFが-0.45, 406-409 bpのT-RFが0.32と特徴的であった.

膜付着物中の細菌群集のT-RFの主成分析の得点とMBRの運転状況および膜付着物のデータ (表-1)を比較した結果を図-3に示す.膜間差圧はPC1と正の相関 (r=0.75)を示した.膜付着物量は,弱いながら,PC1と正の相関 (r=0.54)を,PC2と負の相関 (r=-0.42)を示した.なお,膜付着物中の鉄とフミン質の含有量も,膜付着物量と同様の相関を示した.この解析結果からも,膜のファウリングが進行し、膜付着物量が増加すると,その中には活性汚泥とは異なる特徴的な細菌群集が形成されることが示唆された.

4. まとめ

三宝下水処理場のMBRの膜付着物に含まれる物質の 化学物質および微生物群集構造の解析を行った。ファウ リングが進行している膜の表面には褐色の付着物が蓄積 し、そこには活性汚泥とは異なる特有の微生物群集が形 成され、糖質とタンパク質に加え、フミン質が多く蓄積 されていることが明らかとなった。三宝下水処理場では、 ファウリングの主要な原因物質は鉄を中心とする無機物 に加え、EPSの分泌やゲル層の形成に関与する細菌群集 の存在を示唆している。

謝辞

本研究の一部はJSPS科研費25281039の助成を受けて実施した. 膜試料の採取にはクボタ環境サービス株式会社の協力を頂いた. 膜のSEM-EPMA観察には大阪大学接合科学研究所共同研究員制度により, 西川宏准教授, 浅野健司氏の協力をいただいた.

参考文献

- 1)槙尾隆志,宮本博一,柳瀬仁志: 堺市三宝下水処理場 MBR施設におけるファウリング現象の解析. 第49回下 水道研究発表会講演集,217-219,2012.
- 2)橋本くるみ,池道彦,橋本敏一,濱田浩志,酒井孝輔, 筒井裕文,井上大介,清和成,惣田訓,辻幸志:三宝 下水処理場の膜分離活性汚泥法における微生物群集の 変遷.第49回下水道研究発表会講演集,220-222,2012.
- Frølund, B., Palmgren, R., Keiding, K., and Nielsen, P. H.: Extraction of extracellular polymers from activated sludge using a cation exchange resin. *Water Res.*, 30, 1749-58, 1996.
- 4) Matsuda, M., Inoue, D., Anami, Y., Tsutsui, H., Sei, K., Soda, S., and Ike, M.: Comparative analysis of DNA-based microbial community composition and substrate utilisation patterns of activated sludge microorganisms from wastewater treatment plants operated under different conditions. *Water Sci. Technol.*, 61, 2843-2851, 2010.